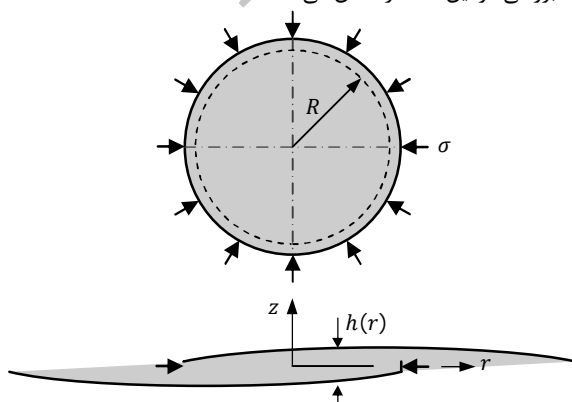


بار بحرانی کمتری نسبت به نظریه نموی پیش‌بینی می‌کند. همچنین آن‌ها نشان دادند که با افزایش ضخامت، بار بحرانی کمانش افزایش می‌یابد.

در زمینه تحلیل کمانش الستیک صفحه با ضخامت متغیر نیز پژوهش‌هایی انجام شده است. بوشان و همکارانش [16] کمانش الستیک صفحه دایره‌ای ارتوتروپ با ضخامت متغیر تحت بارگذاری شعاعی با در نظر گرفتن حالت‌های مختلف تکیه‌گاهی را مورد بررسی قرار دادند. آن‌ها برای حل مسأله از روش اجزایی محدود استفاده کردند و نشان دادند که با افزایش ضخامت از لبه تا مرکز، سفتی صفحه بیشتر شده و در نتیجه بار بحرانی کمانش افزایش می‌یابد. سیانسیو و ریس [17] کمانش الستیک صفحه‌های دایره‌ای با ضخامت متغیر، تحت شرایط مرزی مختلف را به روش ریلی-ریتز بهینه شده بررسی کردند. آن‌ها تغییرات ضخامت را به صورت نمایی در نظر گرفتند و نشان دادند که نظریه تغییرشکل، بار بحرانی کمتری را نسبت به نظریه نموی پیش‌بینی می‌کند. نایی و همتی [18] کمانش الستیک صفحه دایره‌ای ارتوتروپ با ضخامت متغیر خطی با تکیه‌گاه مقاوم الستیک در برابر پیچش را تحلیل کردند. آن‌ها برای این کار از روش ریلی-ریتز بهینه شده استفاده کردند. نتایج آن‌ها نشان داد که در یک ضخامت ثابت، افزایش شعاع خارجی منجر به کاهش بار بحرانی کمانش می‌شود. فرهتنیا و گلشاه [19] به بررسی کمانش الستیک صفحه دایره‌ای و حلقه‌ای ارتوتروپ با ضخامت متغیر به روش ریلی-ریتز بهینه شده پرداختند. آن‌ها تغییرات ضخامت را به صورت خطی در نظر گرفته و نشان دادند که با تغییر تکیه‌گاه از ساده به گیردار، بار بحرانی کمانش افزایش می‌یابد.

در داخل کشور، پژوهش‌های اندکی در زمینه کمانش الستیک-پلاستیک صفحه‌ها منتشر شده است. معارف دوست و کخدایان [20] به مقایسه نظریه‌های تغییرشکل و نموی در تحلیل کمانش الستیک-پلاستیک صفحه نازک مستطیلی به کمک روش یک‌چهارم تفاضلی تعمیم یافته پرداختند. آن‌ها نشان دادند که با گیردار شدن تکیه‌گاه صفحه، به دلیل افزایش سطح نتش، کمانش پلاستیک در آن سریع‌تر رخ می‌دهد. همچنین نتایج آن‌ها نشان می‌دهد که اختلاف دو نظریه تغییرشکل و نموی در حالت نتش تکمحوره افزایش می‌یابد.

بر اساس جستجوی نتایج‌گان، تاکنون پژوهشی در زمینه بررسی اثر نحوه تغییرات ضخامت بر روی بار بحرانی کمانش الستیک-پلاستیک صفحه دایره‌ای منتشر نشده است. این مقاله به بررسی کمانش الستیک-پلاستیک صفحه دایره‌ای نازک تویر تحت فشار شعاعی و با در نظر گرفتن تغییرات ضخامت می‌پردازد. شکل 1 به صورت طرح‌واره، هندسه و بارگذاری مسأله مورد بررسی در این مقاله را نشان می‌دهد.



شکل 1 نمایش طرح‌واره‌ی هندسه و بارگذاری صفحه‌ی دایره‌ای تویر با ضخامت متغیر، تحت فشار یکنواخت شعاعی و با تکیه‌گاه ساده

که در آن یک سازه، تحت یکی از مودهای ناپایداری متحمل تغییرشکل‌های بزرگ قابل مشاهده می‌شود. چنان‌چه در لحظه وقوع کمانش، وضعیت تانسور تنش در هر نقطه از جسم به‌گونه‌ای باشد که تنش معادل در آن نقطه کمتر از تنش تسلیم اولیه جسم باشد، کمانش الستیک و در غیر این صورت، کمانش الستیک-پلاستیک رخ خواهد داد. کمانش اجزای سازه‌ها ممکن است روی مقاومت و یا سفتی¹ تمام سازه تأثیر بگذارد و یا حتی موجب شکست غیرمنتظره سازه بشود. بنابراین، مهم است که میزان بار بحرانی کمانش یک سازه به منظور جلوگیری از سکست نابهنه‌گام آن، تعیین گردد.

پژوهش‌های زیادی بر روی تحلیل کمانش الستیک صفحه‌های نازک دایره‌ای انجام شده است. از جمله می‌توان به کارهای برايان [1]، یاماکی [2]، نیموشنسکو [3] و ماجومدار [4] اشاره کرد. محاسبه بار بحرانی کمانش الستیک از آن جهت اهمیت دارد که می‌تواند به عنوان یک حد بالایی در طراحی‌های مهندسی مورد استفاده قرار گیرد. اما در مورد تحلیل‌های پیشرفت‌تر در زمینه کمانش، دو نظریه متدال در پلاستیسیته به کار گرفته شده‌اند. این نظریه‌ها عبارتند از نظریه تغییرشکل² و نظریه نموی³. کافمن [5]، ایلیوشین [6]، استول [7] و شریورون و غزالی [8] را می‌توان از جمله توسعه‌دهنده‌گان نظریه تغییرشکل دانست. هندلمن و پراکر [9] و پیرسون [10] نیز به توسعه نظریه نموی در تحلیل کمانش الستیک-پلاستیک پرداخته‌اند.

دوربان [11] کمانش الستیک-پلاستیک صفحه‌های دایره‌ای با سوراخ مرکزی تحت بارگذاری برشی در شرایط مختلف تکیه‌گاهی را به روش عددی اجزای محدود مورد بررسی قرار داد. نتایج وی نشان داد که نظریه تغییرشکل، بار بحرانی کمتری نسبت به نظریه نموی پیش‌بینی می‌کند. همچنین او نشان داد که نتایج مربوط به نظریه تغییرشکل، هم‌خواهی بیشتری با نتایج آزمایشگاهی دارد. هنگ و همکارانش [12] کمانش الستیک-پلاستیک صفحه دایره‌ای ضخیم با در نظر گرفتن تأثیر تغییرشکل برشی تحت شرایط مرزی مختلف را به روش ریلی-ریتز مورد بررسی قرار دادند. نتایج آن‌ها نشان داد که چنان‌چه برای صفحه ضخیم از فرض صفحه نازک مرتباً استفاده شود، بار بحرانی به مرتبه بیشتری بدست خواهد آمد و پاسخ‌ها خطای زیادی خواهند داشت. دوربان و زوکرمن [13] کمانش الستیک-پلاستیک صفحه مستطیلی در بارگذاری دوموجوۀ کششی/فشاری را تحت شرایط مرزی ساده و گیردار بررسی کردند. آن‌ها برای این کار از روش جداسازی متغیرها استفاده کردند و نشان دادند که وقتی لبه گیردار تحت فشار قرار گیرد، نسبت به لبه ساده، بار بحرانی کمانش افزایش می‌یابد. همچنین آن‌ها اثر تغییرشکل برشی را نیز در نظر گرفتند و نشان دادند که در نظر گرفتن آن، بیشتر بر روی پیش‌بینی بار بحرانی توسط نظریه نموی اثر می‌گذارد. کاسل و برمک [14] کمانش الستیک-پلاستیک صفحه دایره‌ای با سوراخ مرکزی تحت فشار شعاعی را مورد بررسی قرار دادند. آن‌ها برای این کار، از روش اجزای محدود استفاده کرده و تکیه‌گاه‌های مختلف را بررسی کردند. همچنین آن‌ها در تحلیل خود از مدل دوخطی برای منحنی تنش-کرنش استفاده کردند. آن‌ها اثر کارسختی بر روی بار بحرانی کمانش را مورد بررسی قرار دادند و نشان دادند که اختلاف بین پاسخ‌های دو نظریه تغییرشکل و نموی بین 0% تا 10% است. وانگ و همکارانش [15] یکی از جامع‌ترین تحلیل‌های کمانش پلاستیک در مورد صفحه‌های ضخیم را انجام دادند. نتایج آن‌ها نشان داد که نظریه تغییرشکل

1-Stiffness

2-Deformation Theory

3-Incremental Theory

$$\begin{aligned}\beta &= \frac{1}{\rho} \left[2 - 2(1-2v) \frac{T}{E} - 3 \left(1 - \frac{T}{S} \right) \right] \\ \gamma &= \frac{1}{\rho} \left[4 - 3 \left(1 - \frac{T}{S} \right) \right]\end{aligned}\quad (5)$$

پارامترهای E , T و S در رابطه‌های (4) و (5) به ترتیب نشان‌گر مدول الاستیسیته، مدول مماسی و مدول وتری ماده هستند. این پارامترها به صورت طرح‌واره در شکل 2 برای یک نقطه دلخواه مانند A از منحنی تنش-کرنش نشان داده شده‌اند.

در این مقاله برای رابطه تنش-کرنش از مدل رامبرگ-آزگود که به وسیله رابطه (6) بیان می‌شود [11], استفاده شده است.

$$\epsilon = \frac{\sigma}{E} + k \left(\frac{\sigma}{E} \right)^c \quad (6)$$

در نتیجه با استفاده از رابطه (6)، نسبت‌های مدول مماسی و مدول وتری به مدول الاستیسیته، بر اساس رابطه (7) بدست می‌آیند.

$$\begin{aligned}\frac{T}{E} &= \frac{1}{1 + k c \left(\frac{\sigma}{E} \right)^{c-1}} \\ \frac{S}{E} &= \frac{1}{1 + k \left(\frac{\sigma}{E} \right)^{c-1}}\end{aligned}\quad (7)$$

برای تعیین شرایط آستانه ناپایداری و نقطه دوشاخگی، از معیار یگانگی پاسخ استفاده می‌شود [15]. معیار انترگالی یگانگی پاسخ برای مسئله مورد بررسی به صورت رابطه (8) بیان می‌شود [15].

$$\int_V \left\{ (\dot{\sigma}_{rr} \dot{\epsilon}_{rr} + \dot{\sigma}_{\theta\theta} \dot{\epsilon}_{\theta\theta}) - \sigma \left(\frac{dv_z}{dr} \right)^2 \right\} dV > 0 \quad (8)$$

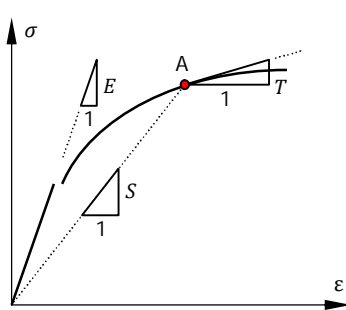
در رابطه (8)، σ فشار یکنواخت شعاعی وارد بر لبه صفحه دایره‌ای است.

با جایگذاری رابطه (2) برای نرخ کرنش و معادلات ساختاری (3) در رابطه (8)، معیار انترگالی یگانگی پاسخ برای صفحه با ضخامت متغیر وتابع مختصه شعاعی r به صورت رابطه (9) تبدیل می‌شود.

$$\int_0^R \int_{-\frac{h(r)}{2}}^{+\frac{h(r)}{2}} \left\{ E \left[\alpha \left(\frac{dv_r}{dr} \right)^2 + 2\beta \left(\frac{v_r}{r} \right) \left(\frac{dv_r}{dr} \right) + \gamma \left(\frac{v_r}{r} \right)^2 \right] - \sigma \left(\frac{dv_z}{dr} \right)^2 \right\} r dz dr > 0 \quad (9)$$

با جایگذاری v_r بر حسب \dot{w} از رابطه (1) در رابطه (9) و سپس ضرب نتیجه حاصل در $(dt)^2$ ، رابطه (10) بدست می‌آید.

$$\int_0^R \int_{-\frac{h(r)}{2}}^{+\frac{h(r)}{2}} \left\{ E \left[\alpha z^2 \left(\frac{d^2 w}{dr^2} \right)^2 + 2\beta z^2 \left(\frac{1}{r} \frac{dw}{dr} \right) \left(\frac{d^2 w}{dr^2} \right) + \gamma z^2 \left(\frac{1}{r} \frac{dw}{dr} \right)^2 \right] - \sigma \left(\frac{dw}{dr} \right)^2 \right\} r dz dr > 0 \quad (10)$$



شکل 2 نمایش طرح‌واره‌ی مدول الاستیسیته، مدول مماسی و مدول وتری در نقطه دلخواه A از منحنی تنش-کرنش

در شکل 1، شعاع R نشان‌گر فاصله مرکز صفحه تا تکیه‌گاه است. چرا که در عمل محل تکیه‌گاه کمی با لبه صفحه فاصله دارد. منظور از شعاع صفحه نیز همین شعاع R است. در این مقاله دو گونه تکیه‌گاه بررسی می‌شوند که عبارتند از تکیه‌گاه ساده و گیردار. همچنان‌که در نمایش طرح‌واره متداول است، تکیه‌گاه ساده، همانند شکل 1، با دایره خط‌چین نشان داده می‌شود. به صورت مشابه تکیه‌گاه گیردار با دایره با خط توپر نشان داده می‌شود.

2- معادلات حاکم

صفحه‌ی دایره‌ای توپر به شعاع R و ضخامت متغیر (r) را که فشار شعاعی یکنواخت σ روی لبه بیرونی آن وارد می‌شود، همانند شکل 1، در نظر بگیرید. بر اساس فرضیه صفحه نازک، میدان سرعت قابل قبول برای تغییرشکل متقارن محوری این صفحه به صورت رابطه (1) نوشته می‌شود [15].

$$\begin{aligned}v_r &= -z \frac{dv_z}{dr} \\ v_\theta &= 0 \\ v_z &= \dot{w}\end{aligned}\quad (1)$$

در رابطه (1) \dot{w} سرعت در راستای عرضی است.

در این مقاله کمانش متقارن محوری صفحه دایره‌ای تحلیل می‌شود. بنابراین کمیت‌ها به مختصه محیطی θ وابسته نیستند [15]. میدان نرخ کرنش متاظر با رابطه (1) در تغییرشکل متقارن محوری، به وسیله رابطه (2) محاسبه می‌شوند [15].

$$\begin{aligned}\dot{\epsilon}_{rr} &= \frac{\partial v_r}{\partial r} = -z \frac{d^2 v_z}{dr^2} \\ \dot{\epsilon}_{\theta\theta} &= \frac{v_r}{r} + \frac{1}{r} \frac{\partial v_\theta}{\partial \theta} = -\frac{z}{r} \frac{dv_z}{dr} \\ \dot{\epsilon}_{zz} &= \frac{\partial v_z}{\partial z} = 0 \\ \dot{\gamma}_{rz} &= \frac{\partial v_r}{\partial z} + \frac{\partial v_z}{\partial r} = -\frac{dv_z}{dr} + \frac{dv_z}{dr} = 0\end{aligned}\quad (2)$$

مؤلفه‌های دیگر نرخ کرنش نیز صفر هستند. با استفاده از شکل نرخی معادلات ساختاری الاستیک-پلاستیک، نرخ مؤلفه‌های غیر صفر تنش بر حسب مؤلفه‌های کرنش بر اساس رابطه‌های (3) بدست می‌آیند [15].

$$\begin{aligned}\dot{\sigma}_{rr} &= E(\alpha \dot{\epsilon}_{rr} + \beta \dot{\epsilon}_{\theta\theta}) \\ \dot{\sigma}_{\theta\theta} &= E(\beta \dot{\epsilon}_{\theta\theta} + \gamma \dot{\epsilon}_{rr})\end{aligned}\quad (3)$$

در رابطه (3)، α و β ثابت‌هایی هستند که بر اساس ضریب پؤاسون و نسبت مدل‌های مماسی و وتری به مدول الاستیسیته بیان می‌شوند. این ثابت‌ها برای دو حالت نظریه‌های تغییرشکل و نموی متفاوت هستند.

برای نظریه نموی این ثابت‌ها مطابق رابطه (4) بدست می‌آیند [15].

$$\begin{aligned}\rho &= (5 - 4v) - (1 - 2v)^2 \frac{T}{E} \\ \alpha &= \frac{1}{\rho} \left(1 + 3 \frac{T}{E} \right) \\ \beta &= \frac{1}{\rho} \left[2 - 2(1 - 2v) \frac{T}{E} \right] \\ \gamma &= \frac{4}{\rho}\end{aligned}\quad (4)$$

برای نظریه تغییرشکل نیز ثابت‌های α , β و γ بر اساس رابطه (5) بدست می‌آیند [15].

$$\begin{aligned}\rho &= 3 \frac{E}{S} + (1 - 2v) \left[2 - (1 - 2v) \frac{T}{E} - 3 \left(1 - \frac{T}{S} \right) \right] \\ \alpha &= \frac{1}{\rho} \left(1 + 3 \frac{T}{S} \right)\end{aligned}$$

مقاله از روش ریلی-ریتز استفاده شده است. در این روش یک خانواده از تابع‌ها که هر عضو از آن شرایط مرزی هندسی مسئله را ارضا می‌کنند، انتخاب می‌شود. آن گاه تابع جابه‌جایی بی بعد \bar{W} به صورت یک ترکیب خطی از N جمله از خانواده انتخاب شده، در نظر گرفته می‌شود.

در این مقاله دو نوع شرط مرزی تکیه‌گاه ساده و گیردار در لبه صفحه، بررسی شده است. شرط مرزی هندسی برای تکیه‌گاه ساده به وسیله‌ی رابطه‌ی (16) و برای تکیه‌گاه گیردار به وسیله‌ی رابطه‌ی (17) (بیان می‌شوند).

$$\bar{W}(\bar{r} = 1) = 0 \quad (16)$$

$$\begin{cases} \bar{W}(\bar{r} = 1) = 0 \\ \frac{d\bar{W}}{d\bar{r}}(\bar{r} = 1) = 0 \end{cases} \quad (17)$$

در این مقاله برای تخمین تابع جابه‌جایی بی بعد، \bar{W} ، از خانواده تابع‌های مثلثاتی استفاده شده است. تابع \bar{W} برای تکیه‌گاه ساده به صورت رابطه‌ی (18) و برای تکیه‌گاه گیردار به صورت رابطه‌ی (19) انتخاب شده‌اند.

$$\bar{W} = \sum \bar{D}_i \sin\left(i \frac{\pi}{2}(1 - \bar{r})\right), \quad (i = 1 \text{ to } N) \quad (18)$$

$$\bar{W} = \sum \bar{D}_i \left[\sin\left(i \frac{\pi}{2}(1 - \bar{r})\right) \right]^2, \quad (i = 1 \text{ to } N) \quad (19)$$

در رابطه‌های (18) و (19)، N تعداد جمله‌ها را نشان می‌دهد و \bar{D}_i ضریب‌های ثابت بی بعد و مجهول هستند. به آسانی می‌توان نشان داد که رابطه‌ی (18) شرط مرزی (16) و رابطه‌ی (19) شرط‌های مرزی (17) را ارضا می‌کنند.

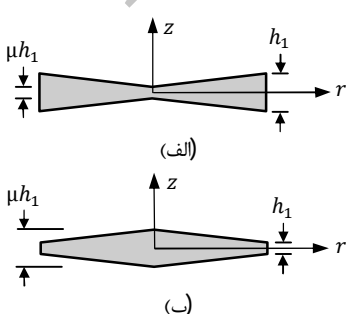
با جایگذاری تابع \bar{W} از یکی از دو رابطه‌ی (18) یا (19)، بسته به نوع تکیه‌گاه، و پس از جایگذاری تابع $(\bar{r})\bar{h}$ از رابطه‌ی (15)، انتگرال رابطه‌ی (14) بصورت تابعی بر حسب ثابت‌های بی بعد مجهول \bar{D}_i محاسبه می‌شود.

برای کمینه‌سازی حاصل این انتگرال، لازم است مشتق نسبی عبارت حاصل انتگرال نسبت به هر یک از \bar{D}_i ها برابر صفر قرار داده شود. با مساوی صفر قرار دادن مشتق انتگرال نسبت به هر یک از \bar{D}_i ها، یک دستگاه N معادله و N مجهولی خطی و همگن همانند رابطه‌ی (20) نتیجه خواهد شد.

$$[K]_{N \times N} [\bar{D}]_{N \times 1} = [0]_{N \times 1} \quad (20)$$

برای آن که دستگاه خطی و همگن (20) پاسخ غیر بدیهی داشته باشد باید دترمینان ماتریس ضرایب $[K]$ برابر صفر شود. کوچکترین ریشه این معادله جبری، بار بحرانی بی بعد کمانش، \bar{h}_{cr} خواهد بود [15].

در این مقاله برای محاسبه بار بحرانی کمانش، یک برنامه در محیط نرم‌افزار میپل¹ تدوین شده است. با اجرای این برنامه، ضخامت بی بعد لبه



شکل ۳ نمایش طرح‌واره‌ی چگونگی تغییر ضخامت برای صفحه با ضخامت لبه h_1 در حالت تغییرات خطی ضخامت $(1 + n_h)$ و به ازای دو حالت (الف) و (ب) $n_h < 1$ و $n_h > 1$ به صورت طرح‌واره در شکل ۳ نشان داده شده است.

در رابطه‌ی (10)، تنها جمله‌های شامل z^2 تابع مختصه ضخامت، z ، هستند. بعلاوه عبارت‌های ضریب z^2 مستقل از z هستند. در نتیجه محاسبه ای انتگرال داخلی بر حسب ضخامت در رابطه‌ی (10)، به رابطه‌ی (11) می‌انجامد.

$$\int_0^R \left\{ \frac{h(r)^3}{12} \left[\alpha \left(\frac{d^2w}{dr^2} \right)^2 + 2\beta \left(\frac{1}{r} \frac{dw}{dr} \right) \left(\frac{d^2w}{dr^2} \right) + \gamma \left(\frac{1}{r} \frac{dw}{dr} \right)^2 \right] - h(r) \frac{\sigma}{E} \left(\frac{dw}{dr} \right)^2 \right\} r dr > 0 \quad (11)$$

برای صفحه با ضخامت ثابت، رابطه‌ی (11) به رابطه‌ی (12) ساده می‌شود.

$$\int_0^R \left\{ \alpha \left(\frac{d^2w}{dr^2} \right)^2 + 2\beta \left(\frac{1}{r} \frac{dw}{dr} \right) \left(\frac{d^2w}{dr^2} \right) + \gamma \left(\frac{1}{r} \frac{dw}{dr} \right)^2 - \frac{12}{h^2} \frac{\sigma}{E} \left(\frac{dw}{dr} \right)^2 \right\} r dr > 0 \quad (12)$$

3- روش حل

بار بحرانی آستانه‌ی کمانش، با استفاده از کمینه‌سازی انتگرال رابطه‌ی (11) (یا رابطه‌ی (12) برای حالت ضخامت ثابت) بدست می‌آید [15]. در این بخش ابتدا با معرفی کمیت‌های بی بعد، شکل بی بعد معادلات استخراج می‌شوند. سپس روند کلی حل شرح داده خواهد شد.

3-1- بی بعدسازی متغیرها و معادله‌های حاکم
متغیرها و کمیت‌های بی بعد \bar{r} , \bar{h} , \bar{W} و $\bar{\sigma}$ بر اساس رابطه‌ی (13) تعریف می‌شوند.

$$\begin{aligned} \bar{r} &= \frac{r}{R} \\ \bar{h} &= \frac{h}{R} \\ \bar{W} &= \frac{W}{R} \\ \bar{\sigma} &= \frac{\sigma}{E} \end{aligned} \quad (13)$$

با استفاده از کمیت‌های بی بعد معرفی شده در رابطه‌ی (13)، شکل بعد شده رابطه‌ی (11) به صورت رابطه‌ی (14) بدست می‌آید.

$$\int_0^1 \left\{ \bar{h}(\bar{r})^3 \left[\frac{1}{12} \left(\frac{d^2\bar{W}}{d\bar{r}^2} \right)^2 + 2\beta \left(\frac{1}{\bar{r}} \frac{d\bar{W}}{d\bar{r}} \right) \left(\frac{d^2\bar{W}}{d\bar{r}^2} \right) + \gamma \left(\frac{1}{\bar{r}} \frac{d\bar{W}}{d\bar{r}} \right)^2 \right] - \bar{h}(\bar{r}) \bar{\sigma} \left(\frac{d\bar{W}}{d\bar{r}} \right)^2 \right\} \bar{r} d\bar{r} > 0 \quad (14)$$

در این مقاله برای بررسی اثر تغییر ضخامت، تابع ضخامت بی بعد، $(\bar{r})\bar{h}$ ، به صورت رابطه‌ی (15) فرض شده است.

$$\bar{h}(\bar{r}) = \frac{h_1}{R} ((1 - \mu)\bar{r}^{n_h} + \mu) = \bar{h}_1 ((1 - \mu)\bar{r}^{n_h} + \mu) \quad (15)$$

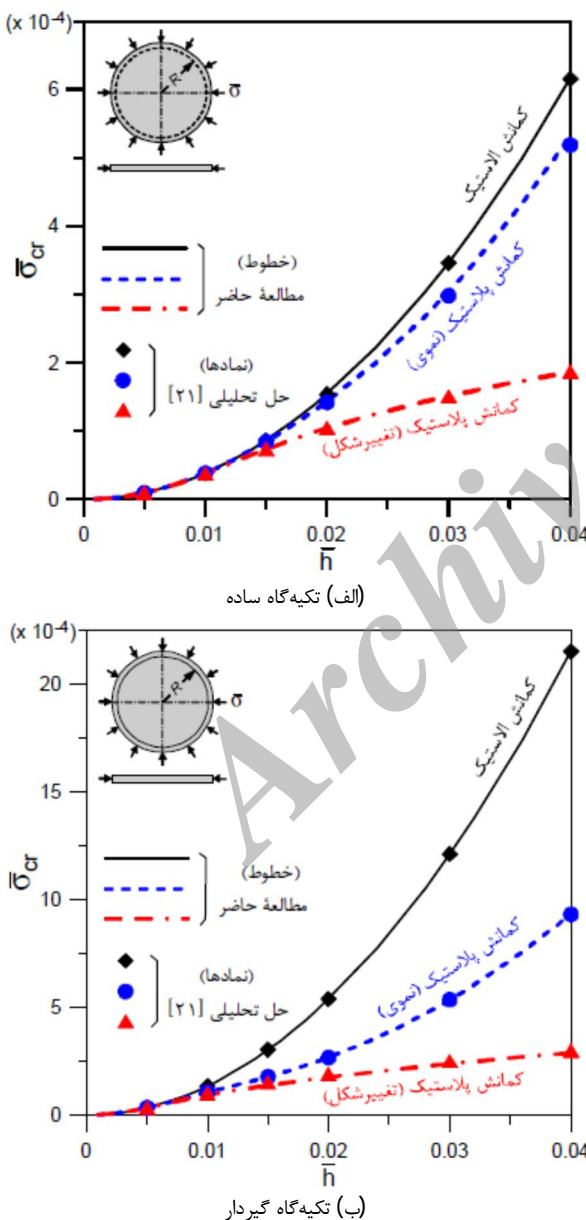
در رابطه‌ی (15) h_1 نشان‌گر ضخامت لبه صفحه و n_h بیان‌گر نسبت ضخامت مرکز صفحه به ضخامت لبه صفحه است. پارامتر n_h نیز چگونگی تغییر ضخامت از لبه به سمت مرکز صفحه را مشخص می‌کند. برای نمونه چگونگی تغییرات ضخامت برای حالت تغییرات خطی ($n_h = 1$) و در دو حالت $\mu < 1$ و $\mu > 1$ به صورت طرح‌واره در شکل ۳ نشان داده شده است.

3-2- روند کلی حل

برای کمینه‌سازی رابطه انتگرالی (14) و محاسبه بار بحرانی کمانش، در این

نموداری و تغییرشکل، $\bar{\sigma}_{cr}$ ، را بر حسب نسبت ضخامت به شعاع صفحه، \bar{h} ، برای صفحه آلمینیومی با ضخامت ثابت و دو حالت تکیه‌گاه ساده و گیردار نشان می‌دهند.

بیشترین مقدار خطا در مقایسه نتایج این مقاله با حل تحلیلی مرجع [21] برابر $2/5\%$ و مربوط به نظریه‌ی نموداری است. سازگاری بسیار خوبی که بین نتایج تحلیل این مقاله و پاسخ‌های تحلیلی مرجع [21] در نمودارهای شکل 5 مشاهده می‌شود به روشنی نشان‌دهنده اعتبار نتایج تحلیل این مقاله است. هم‌چنین مقایسه نمودارهای بخش (الف) و (ب) شکل 5 نشان می‌دهد، همان‌گونه که انتظار می‌رود، بار کمانش در حالت تکیه‌گاه گیردار بزرگ‌تر از حالت تکیه‌گاه ساده است. این تغییر نوع تکیه‌گاه بر روی بار کمانش الستیک بیشترین اثر و بر روی بار کمانش الستیک-پلاستیک به دست آمده از نظریه تغییرشکل کمترین اثر را دارد.



شکل 5 مقایسه بار بی بعد کمانش با نتایج تحلیلی مرجع [21]، برای ورق آلمینیومی با ضخامت ثابت و مشخصات جدول 1، برای دو حالت تکیه‌گاه ساده و گیردار

صفحه، پارامتر توان n_h و نسبت ضخامت \bar{h} به عنوان ورودی دریافت می‌شود. آن‌گاه بار بحرانی بی بعد کمانش، $\bar{\sigma}_{cr}$ ، به عنوان خروجی محاسبه می‌شود.

4- نتایج عددی و بحث

پیش از بررسی اثر تغییر ضخامت بر پیش‌بینی بار بحرانی کمانش، ابتدا نتایج به دست آمده ارزیابی و اعتبار آن‌ها نشان داده می‌شود. سپس اثر در نظر گرفتن تغییر ضخامت بر بار بحرانی کمانش بررسی می‌شود. در این مقاله برای ارزیابی عددی نتایج، از دو مادة آلمینیوم تجاری و فولاد 1403 که ثابت‌های رامبرگ-آرگود آن‌ها از مرجع [11] برگرفته شده و در جدول 1 نشان داده شده است، استفاده می‌شود.

4-1- ارزیابی نتایج

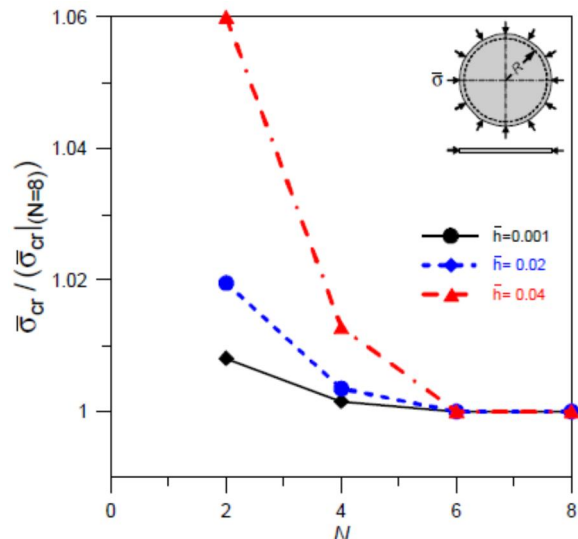
برای ارزیابی نتایج، ابتدا روند همگرایی بار بحرانی کمانش بر حسب افزایش تعداد جمله‌ها در تابع حدس بررسی می‌شود. پس از آن، برای حالت صفحه با ضخامت ثابت، نتایج این مقاله با نتایج تحلیلی موجود مقایسه می‌شوند.

روند همگرایی پاسخ‌ها برای تعداد جمله‌های مختلف N نشان داده شده است. در شکل 4، بار بحرانی می‌شود همان‌طور که مشاهده می‌شود، با افزایش تعداد جمله‌ها، پاسخ‌ها همگرا می‌شوند. به‌گونه‌ای که پاسخ‌ها به‌ازای تابع حدس با $N=8$ جمله، $N=6$ و $N=4$ جمله بعدی از تابع حدس شش-جمله‌ای استفاده شده است.

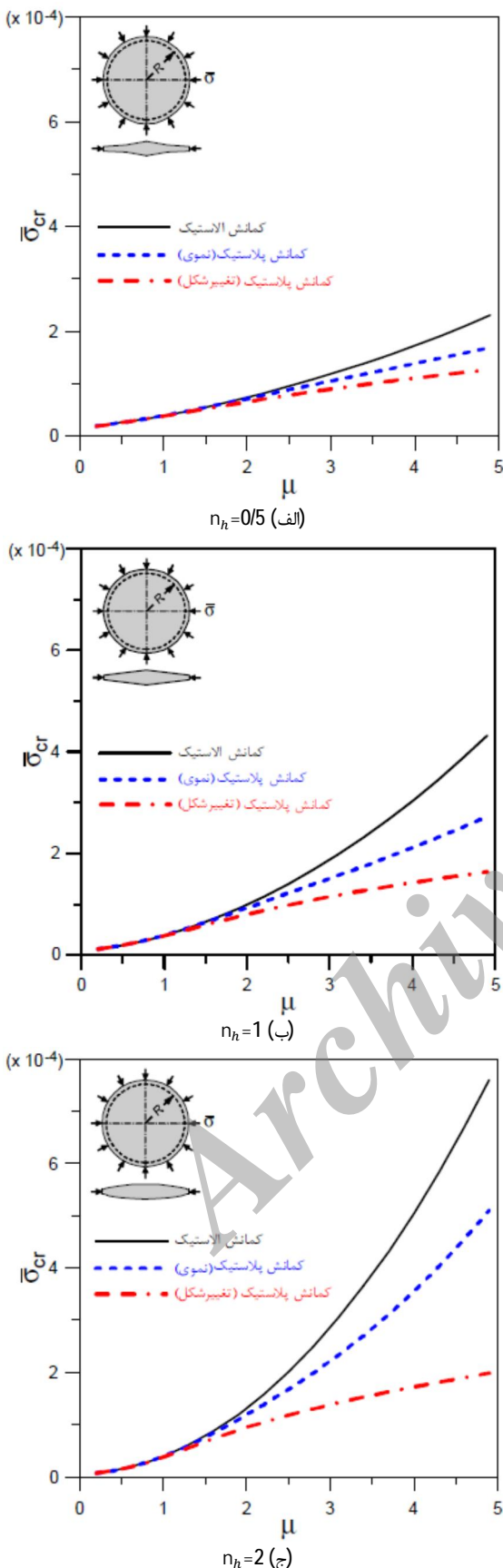
اکنون بمنظور ارزیابی نتایج، بار بحرانی کمانش بدست آمده از تحلیل این مقاله با نتایج تحلیلی مشابه از مرجع [21]، مقایسه می‌شوند. نمودارهای شکل 5 بار بحرانی کمانش الستیک و الستیک-پلاستیک بر اساس نظریه‌های

جدول 1 ثابت‌های رامبرگ-آرگود برای آلمینیوم تجاری و فولاد 1403 [11]

E (GPa)	K	c	پارامتر جنس
68/7	$1/27 \times 10^{10}$	3/72	آلومینیوم تجاری
210	$3/7 \times 10^{12}$	4/9	فولاد 1403



شکل 4 نمودار روند همگرایی تنش بحرانی بی بعد یکه شده، بر حسب افزایش تعداد جمله‌های تابع حدس جایه جایی، برای ورق آلمینیومی با مشخصات جدول 1



شکل 6 بار باری بعد کمانش بر حسب نسبت ضخامت، برای ورق آلومنیومی با تکیه‌گاه ساده و سه حالت مختلف تغییر ضخامت، (الف) $n_h=0/5$ ، (ب) $n_h=1$ و (ج) $n_h=2$

4-2- بررسی اثر تغییر ضخامت بر بار بحرانی کمانش الستیک-پلاستیک

در این بخش اثر چگونگی تغییر ضخامت و اندازه آن بر بار بحرانی بی‌بعد کمانش، σ_{cr} ، بررسی می‌شود. برای این منظور نمودار بار بحرانی کمانش الستیک و الستیک-پلاستیک بر حسب نسبت ضخامت مرکز به لبه، n_h ، برای ورق با دو جنس آلومنیومی و فولادی، در شکل‌های 6 تا 9 رسم شده‌اند. در نمودار شکل‌های 6 و 7 تکیه‌گاه صفحه ساده فرض شده و در شکل‌های 8 و 9 تکیه‌گاه به صورت گیردار در نظر گرفته شده است. برای بررسی اثر چگونگی تغییر ضخامت بر بار کمانش، در هر حالت نمودار بار کمانش برای سه مقدار مختلف توان تغییر ضخامت رسم شده‌اند ($n_h=1$ ، $n_h=0/5$ و $n_h=2$).

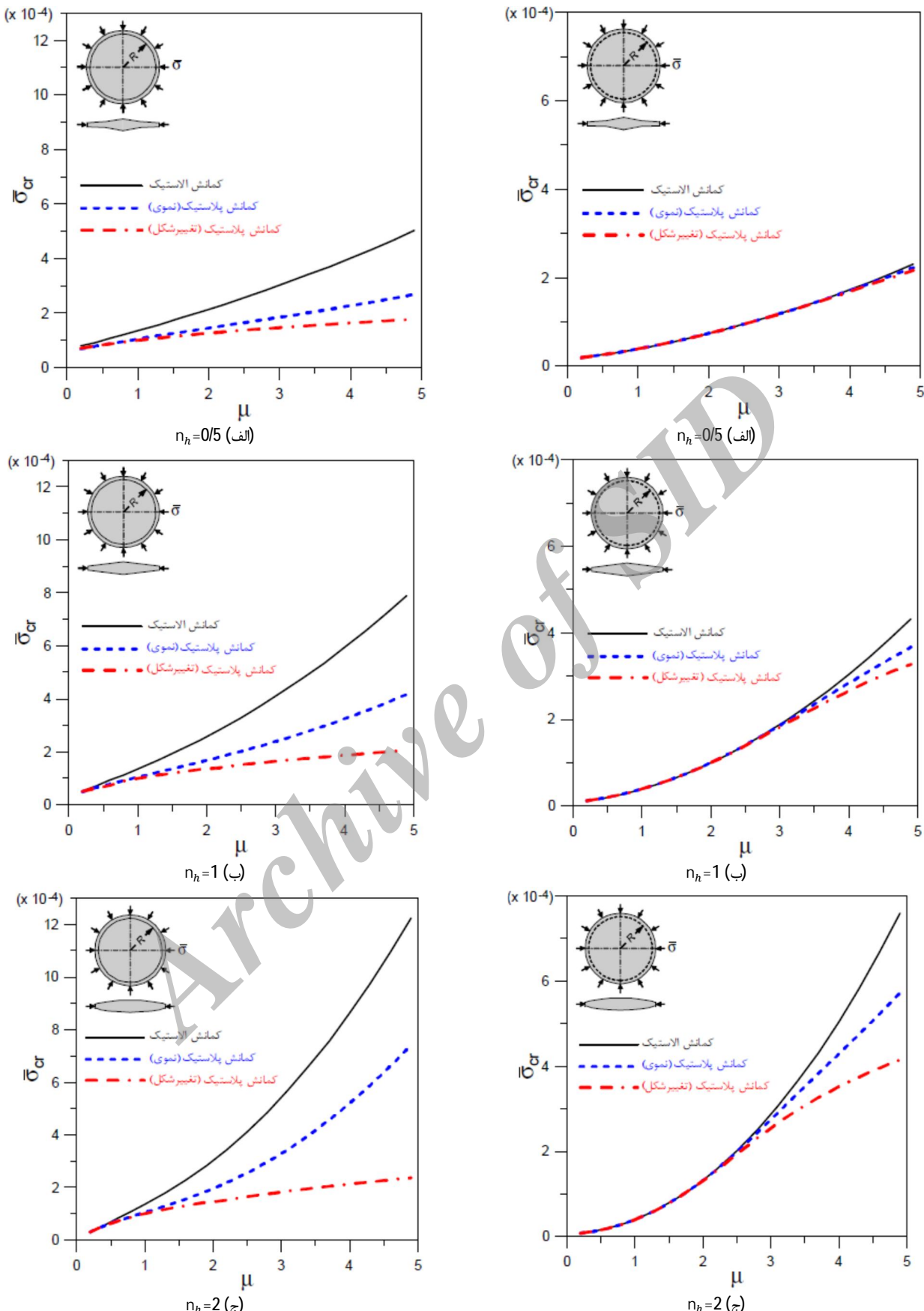
لازم است توجه شود که شکل‌های طرح‌واره داخل نمودارها که چگونگی تغییر ضخامت را نشان می‌دهند، به صورت نمادین ارائه شده‌اند. زیرا همان‌گونه که پیشتر اشاره شد، در محدوده $1 \leq \mu \leq 5$ ضخامت مرکز کوچکتر از ضخامت لبه و در محدوده $1 < \mu$ ضخامت مرکز بزرگتر از ضخامت لبه صفحه است.

نخستین نتیجه مشترک در همه نمودارهای شکل‌های 6 تا 9 این است که بار بحرانی کمانش الستیک از بار بحرانی کمانش الستیک-پلاستیک بزرگتر است. این نتیجه از آن جهت که با فرض رفتار الستیک، صفحه افزایش می‌یابد، بدینه است [15] و [21]. هم‌چنین در بین دو نظریه نموی و تغییرشکل، نظریه تغییرشکل پیش‌بینی محاطه‌انه‌تری از بار بحرانی کمانش دارد. این نتیجه در مراجع دیگر مانند [15] نیز مشاهده می‌شود. اما دلیل مشخصی برای این موضوع بیان نشده است. البته در مرجع [11] نشان داده شده است که برای صفحه دایره‌ای توخالی با ضخامت ثابت، نتایج نظریه تغییرشکل به نتایج تجربی نزدیک‌تر است. مقایسه نمودارهای شکل‌های 6 و 8 و هم‌چنین مقایسه نمودارهای شکل‌های 7 و 9 نشان می‌دهند با تبدیل تکیه‌گاه ساده به گیردار، بار بحرانی کمانش افزایش می‌یابد. این نتیجه که مورد انتظار نیز هست، در پژوهش‌های دیگر مانند [15] نیز گزارش شده است. هم‌چنین با مقایسه هر یک از نمودارهای مربوط به جنس آلومنیوم با نمودار مشابه از جنس فولاد، می‌توان دریافت که با افزایش خصوصیت‌های مادی در رابطه رامبرگ-آرگود (6)، بار بحرانی کمانش افزایش می‌یابد. این نتیجه نیز به دلیل افزایش استحکام ماده، علاوه بر آن که قابل پیش‌بینی بود، در نتایج مراجع دیگر مانند [11] و [15] نیز گزارش شده است.

در شکل (7-الف) که مربوط به صفحه فولادی با تکیه‌گاه ساده است، نوع تکیه‌گاه و نیز نوع تغییر ضخامت سبب شده بار بحرانی کمانش پایین باشد. از سوی دیگر بالا بودن مشخصات مکانیکی ماده سبب شده که نسبت‌های (T/E) و (S/E) در این حالت در مقایسه با حالت‌های دیگر، بیشتر به عدد یک نزدیک شوند. به همین دلیل بار بحرانی کمانش الستیک و کمانش الستیک-پلاستیک به دست آمده از هر دو نظریه نموی و تغییرشکل، در این حالت کمترین اختلاف را با یکدیگر نشان می‌دهند.

اما دست‌آورده اصلی این مقاله، نتایج مربوط به اثر تغییر ضخامت بر روی بار بحرانی کمانش است. در این زمینه نتایج از دو جنبه قابل بررسی هستند. جنبه نخست به اثر اندازه μ ، نسبت ضخامت مرکز به ضخامت لبه صفحه، مربوط می‌شود. دوین جنبه به چگونگی روند تغییر ضخامت که به وسیله پارامتر n_h ، مشخص می‌شود، باز می‌گردد.

از نظر جنبه اول، در همه نمودارهای شکل‌های 6 تا 9 مشاهده می‌شود که با افزایش نسبت ضخامت مرکز به ضخامت لبه، بار بحرانی کمانش افزایش می‌یابد. بنابراین بین دو صفحه با ضخامت غیر یکنواخت، بار بحرانی کمانش صفحه‌ای که ضخامت مرکز آن بزرگتر از ضخامت لبه‌اش است ($\mu > 1$)



شکل 8 بار بی بعد کمانش بر حسب نسبت ضخامت، برای ورق آلومینیومی با تکیه گاه گیردار و سه حالت مختلف تغییر ضخامت، (الف) $n_h=0/5$ ، (ب) $n_h=1$ و (ج) $n_h=2$

شکل 7 بار بی بعد کمانش بر حسب نسبت ضخامت، برای ورق فولادی با تکیه گاه ساده و سه حالت مختلف تغییر ضخامت، (الف) $n_h=0/5$ ، (ب) $n_h=1$ و (ج) $n_h=2$

به مراتب بزرگتر از صفحه‌ای است که ضخامت مرکز آن کوچکتر از ضخامت لبه‌اش است ($1<\mu$). به عبارت دیگر صفحه با $1<\mu$ از نظر کمانش این‌تر از صفحه با $1>\mu$ است. از نظر چگونگی روند تغییر ضخامت نیز نتایج شکل‌های 6 تا 9 نشان می‌دهند با افزایش پارامتر n_h ، بار بحرانی کمانش و در نتیجه اینمی صفحه در برای کمانش، افزایش می‌یابد. لازم است توجه شود که با افزایش n_h ، تراکم ماده در مرکز صفحه بیشتر می‌شود.

در مجموع، هر دو جنبه مورد بررسی نشان می‌دهند که با افزایش تراکم ماده در مرکز صفحه، بار بحرانی کمانش افزایش می‌یابد.

برای درک اهمیت در نظر گرفتن اندازه و چگونگی تغییرات ضخامت و اثر آن بر روی بار بحرانی کمانش، یک حالت خاص مورد توجه قرار می‌گیرد. برای این منظور صفحه‌ای آلومینیومی با تکیه‌گاه ساده و با فرض تغییرات سه‌می‌شکل ضخامت، $n_h=2$ (شکل (6-ج)) انتخاب شده است. نتایج نشان می‌دهند در این حالت، با افزایش نسبت ضخامت مرکز به ضخامت لبه از $0/9<\mu<1/1$ ، بار بی‌بعد کمانش از $\bar{\sigma}_{cr}=0/328$ به $\bar{\sigma}_{cr}=0/453$ افزایش می‌یابد. به عبارت دیگر در این حالت، اگر ضخامت مرکز صفحه 10% بزرگتر از لبه صفحه باشد ($1/1<\mu$)، بار بحرانی کمانش حدود 38% بیش از صفحه‌ای است که ضخامت مرکزش 10% کوچکتر از ضخامت لبه باشد ($0/9<\mu$).

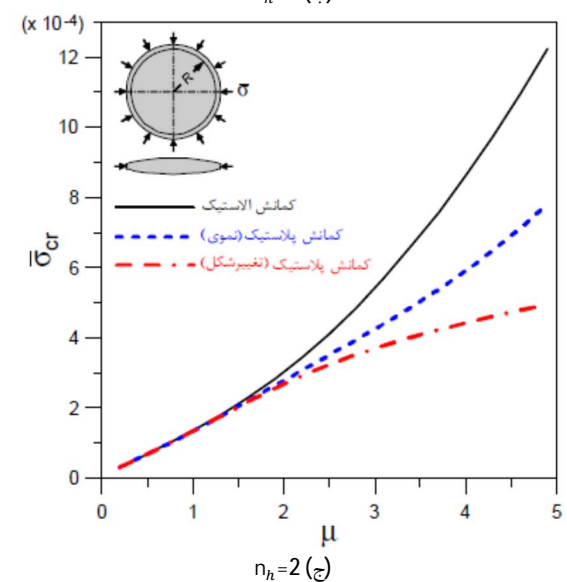
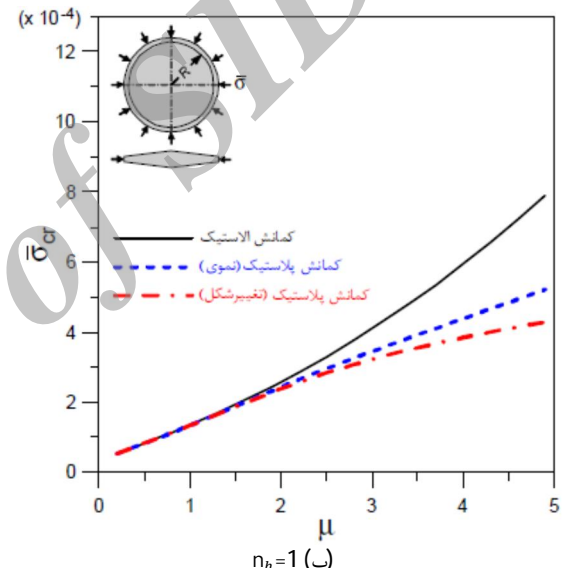
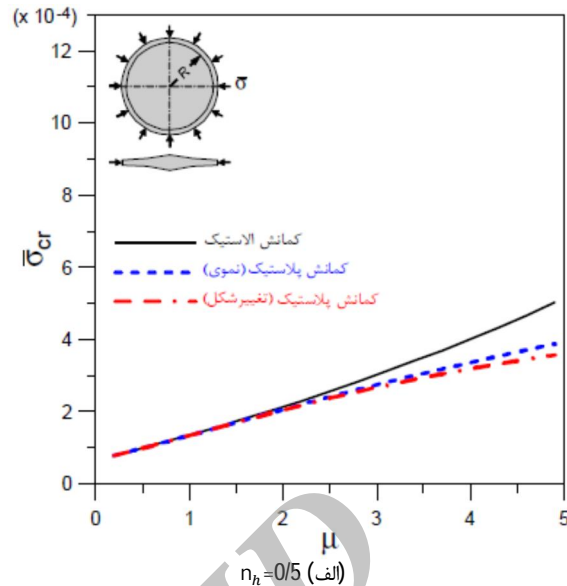
کافی است توجه شود که به دلیل دقت پایین در تولید، 10% تغییر ضخامت به طور متداول در ورق‌ها مشاهده می‌شود. از این‌رو این نتیجه به روشنی اهمیت در نظر گرفتن تغییرات ضخامت را در محاسبه بار بحرانی کمانش الستیک-پلاستیک نشان می‌دهد.

5- نتیجه‌گیری

در این مقاله، کمانش الستیک-پلاستیک صفحه نازک دایره‌ای تحت فشار شعاعی با در نظر گرفتن تغییرات ضخامت مورد بررسی قرار گرفته است. برای تحلیل کمانش الستیک-پلاستیک از دو نظریه پلاستیسیته تغییرشکل و نموی استفاده و اثر چگونگی و اندازه تغییرات ضخامت و نیز نوع تکیه‌گاه برای دو جنس آلومینیوم تجاری و فولاد 1403 بررسی شده است. نتایج نشان می‌دهند نظریه تغییرشکل، بار بحرانی کمانش به مراتب کمتری نسبت به نظریه نموی پیش‌بینی می‌کند. همچنین با کاهش تمرکز ماده در مرکز صفحه، ($1<\mu<1/n_h$) و نیز با افزایش استحکام ماده، اختلاف دو نظریه نموی و تغییرشکل کاهش می‌یابد. بعلاوه در شرایط مشابه، با تغییر تکیه‌گاه از ساده به گیردار، بار بحرانی کمانش افزایش پیدا می‌کند. هر چه ضخامت صفحه کمتر باشد، اختلاف بار بحرانی کمانش مربوط به دو حالت ساده و گیردار کمتر خواهد بود. نتایج نشان می‌دهند که با افزایش پارامترهای k و κ در رابطه رامبرگ-آزگود، بار بحرانی کمانش افزایش یافته و هم‌زمان اختلاف نتایج مربوط به نظریه‌های نموی و تغییرشکل نیز کمتر می‌شود. در مجموع نتایج بدست آمده را می‌توان به صورت زیر برشمرد.

1- اثر اندازه و چگونگی تغییرات ضخامت بر روی بار بحرانی کمانش، در نظریه نموی به مراتب بیشتر از نظریه‌ی تغییرشکل است. به عنوان مثال برای صفحه با تکیه‌گاه ساده و بهارای یک ضخامت لبه مشخص، اگر نسبت ضخامت مرکز به لبه از $3<\mu<3/3$ به $3/3<\mu<1$ افزایش یابد، بار بحرانی کمانش نظریه تغییرشکل حدود 46% افزایش می‌یابد. در حالی که بار بحرانی کمانش در نظریه نموی حدود 46% افزایش می‌یابد.

2- نتایج نشان می‌دهند چنان‌چه توزیع ماده بیشتر در شعاع خارجی ($r=1$) متمرکز باشد، بار بحرانی کمانش پلاستیک با استفاده از هر دو نظریه



شکل 9 بار بی‌بعد کمانش بر حسب نسبت ضخامت، برای ورق فولادی با تکیه‌گاه گیردار و سه حالت مختلف تغییر ضخامت، (الف) $n_h=0/5$ ، (ب) $n_h=1$ و (ج) $n_h=2$

ثابت بی بعد مادی وابسته به ضرب پواسون و نسبت مدول و تری	ρ
و مدول مماسی به مدول الاستیسیته	σ_{ij}
مؤلفه‌های تنش (Pa)	σ
بارگذاری تنش شعاعی روی لبه خارجی صفحه دایره‌ای (Pa)	$\bar{\sigma}_{ij}$
مؤلفه‌های بی بعد تنش	$\bar{\sigma}_{cr}$
تنش بحرانی بی بعد کمانش	عملگرها
مشتق نسبت به زمان	()

7- مراجع

- [1] G. H. Bryan, On the Stability of a Plane Plate with Thrusts in Its Own Plane with Applications to the Buckling of the Sides of a Ship, *Proceedings of the London Mathematical Society*, Vol. 22, No. 4, pp. 54-67, 1891.
- [2] N. Yamaki, Buckling of Thin Annular Plate Under Uniform Compression, *Journal of Applied Mechanics*, Vol. 25, No. 3, pp. 267-273, 1958.
- [3] S. P. Timoshenko, J. M. Gere, *Theory of Elastic Stability*, McGraw-Hill, New York, 1961.
- [4] S. Majumdar, Buckling of a Thin Annular Plate Under Uniform Compression, *AIAA Journal*, Vol. 9, No. 9, pp. 1701-1707, 1971.
- [5] W. Kaufmann, Über Unelastisches Knicken Rechtiger Platten, *Ingenieur Archiv*, Vol. 7, No. 6, pp. 156-162, 1936.
- [6] A. A. Illyushin, The Elastic Plastic Stability of Plates, *NACA Technical Memorandum*, No. 1188, 1946.
- [7] E. Z. Stowell, A Unified Theory of Plastic Buckling of Columns and Plates, *NACA Technical Note*, No. 1556, 1948.
- [8] H. A. El-Ghazaly, A. N. Sherbourne, Defromation Theory for Elastic-Plastic Buckling Analysis of Plates Under Non-Proportional Planar Loading, *Computers and Structures*, Vol. 22, No. 2, pp. 131-149, 1986.
- [9] G. H. Handelman and W. Prager, Plastic Buckling of Rectangular Plates Under Edge Thrusts, *NACA Technical Note*, No. 1530, 1948.
- [10] C. E. Pearson, Bifurcation Criterion and Plastic Buckling of Plates and Column, *Journal of the Aeronautical Scicence*, Vol. 17, No. 7, pp. 417-424, 1950.
- [11] E. Ore, D. Durban, Elastoplastic Buckling of Annular Plates in Pure Shear, *Journal of Applied Mechanics*, Vol. 56, No. 4, pp. 644-651, 1989.
- [12] G. M. Hong, C. M. Wang, T. J. Tan, Analytical Buckling Solution for Circular Mindlin Plates, *Journal of Applied Mechanics*, Vol. 63, No. 3, pp. 534-542, 1993.
- [13] D. Durban, Z. Zuckerman, Elastoplastic Buckling of Rectangular Plates in Biaxial Compression/Tension, *International Journal of Mechanical Sciences*, Vol. 41, No. 3, pp. 751-765, 1999.
- [14] F. Kosek, B. Bremec, Elastoplastic Buckling of Circular Annular Plates under Uniform in-plane Loading , *Thin-Walled Structures*, Vol. 42, No. 3, pp. 101-117, 2003.
- [15] C. M. Wang, Y. Xiang, J. Chakrabarty, Elastic/Plastic Buckling of Thick Plates, *International Journal of Solids and Structures*, Vol. 38, No. 48, pp. 8617-8640, 2001.
- [16] B. Bhushan, G. Singh, G. Venkatesvara Rao, Buckling of Tapered Orthotropic Circular Plates Using a Computationally Economic Approach, *Computers and Structures*, Vol. 46, No. 3, pp. 421-428, 1993.
- [17] P. M. Ciano, J. A. Reyes, Buckling of Circular, Annular Plates of Continuously Variable Thickness Used as Internal Bulkheads in Submersibles, *Ocean Engineering*, Vol. 30, No. 3, pp. 1323-1333, 2002.
- [18] M. H. Naei, A. Hemmati, Buckling Analysis of Orthotropic Circular Plate with Various Thickness and Edges Elastically Restrained against Rotation, *Journal of Institue of Thechnology*, Vol. 39, No. 1, pp. 95-102, 2003. (In Persian)
- [19] F. Farhatnia, A. Golshan, Buckling of Orthotropic Circular Annular Plates with Various Thickness and Rayleigh-Ritz Method, *Journal of Solid Mechanics*, Vol. 1, No. 2, pp. 31-40, 2008. (In Persian)
- [20] M. Maarefdoust, M. Kadkhodayan, A comparison between the incremental and deformation theories to analyze elastoplastic buckling of thin rectangular plates by GDQ method, *Modares Mechanical Engineering*, Vol. 12, No. 3, pp. 11-26, 2012. (In Persian)
- [21] J. Chakrabarty, *Applied Plasticity*, Second Edition, New York: Springer, 2010.

اختلاف ناچیزی با بار کمانش پیش‌بینی شده توسط تحلیل الاستیک دارد. به طوری که در بدترین حالت این اختلاف تنها ۰/۲٪ است. به این ترتیب می‌توان برای بار بحرانی کمانش الاستیک-پلاستیک همان بار بحرانی کمانش الاستیک را گزارش کرد.

-۳- برای طراحی صفحه مقاوم در برابر کمانش و با ضخامت متغیر، می‌توان از صفحه‌ای استفاده کرد که در لبه خارجی دارای ضخامت کمتر و در قسمت مرکزی دارای ضخامت بیشتری باشد. بعنوان مثال نتایج نشان می‌دهند که با فرض تغییرات ضخامت به صورت سهمی شکل، بار بحرانی کمانش پلاستیک صفحه‌ای که ضخامت مرکزی آن ۵۰٪ بیشتر از ضخامت لبه خارجی آن باشد نسبت به حالتی که ضخامت مرکزی ۵۰٪ کمتر از ضخامت لبه خارجی باشد، حدوداً ۴/۵ برابر افزایش می‌یابد.

6- فهرست نمادها و نشانه‌ها

یکی از ثابت‌های مکانیکی بی بعد در رابطه رامبرگ-آزگود	c
ضریب بی بعد جمله‌ها در تقریب ریتز جایه‌جایی بی بعد شده	\bar{D}_i
مدول الاستیسیته و از ثابت‌های رابطه رامبرگ-آزگود (Pa)	E
یکی از ثابت‌های مکانیکی بی بعد در رابطه رامبرگ-آزگود	k
ضخامت لبه صفحه (m)	h_1
ضخامت بی بعد لبه صفحه	\bar{h}_1
ضخامت بی بعد، تابعی از مختصه شعاعی بی بعد	$\bar{h}(r)$
پارامتر بی بعد توان درتابع ضخامت	n_h
تعداد جمله‌ها در تقریب ریتز جایه‌جایی	N
مختصه شعاعی در دستگاه استوانه‌ای (m)	r
مختصه شعاعی بی بعد	\bar{r}
فاصله مرکز صفحه دایره‌ای تا تکیه‌گاه (m)	R
مدول وتری (Pa)	S
مدول مماسی (Pa)	T
به ترتیب مؤلفه‌های شعاعی، محیطی و محوری سرعت (v _r , v _θ , v _z)	v _r , v _θ , v _z
جایه‌جایی عرضی (m)	w
جایه‌جایی عرضی بی بعد	\bar{w}
مختصه در راستای ضخامت صفحه دایره‌ای (m)	z
نمادهای یونانی	
ثابت بی بعد مادی وابسته به ضرب پواسون و نسبت مدول وتری	α
و مدول مماسی به مدول الاستیسیته	
ثابت بی بعد مادی وابسته به ضرب پواسون و نسبت مدول وتری	β
و مدول مماسی به مدول الاستیسیته	
ثابت بی بعد مادی وابسته به ضرب پواسون و نسبت مدول وتری	γ
و مدول مماسی به مدول الاستیسیته	
مؤلفه‌های کرنش	ϵ_{ij}
مختصه محیطی در دستگاه استوانه‌ای	θ
نسبت بی بعد ضخامت مرکز به ضخامت لبه صفحه دایره‌ای	μ
ضریب پواسون	v